

Implementação eficiente em *software* da função Lyra2 em arquiteturas modernas

Guilherme P. Gonçalves¹, Diego F. Aranha¹

¹Laboratório de Segurança e Criptografia (LASCA)
Instituto de Computação (IC) – Universidade Estadual de Campinas (Unicamp)
Av. Albert Einstein, 1251 – Campinas/SP – Brasil

guilherme.p.gonc@gmail.com, dfaranha@ic.unicamp.br

Abstract. *Password authentication has become even more challenging with the significant increase in available computing power by means of dedicated hardware and GPUs. This work presents an efficient software implementation of the password hashing scheme Lyra2 in modern Intel platforms, according to version 2.5 of its specification. The resulting implementation employs AVX2 vector instructions for a performance improvement of 30% over the reference implementation. In practice, it is important to know the precise performance of such primitives to inform parameter choice and corresponding security guarantees.*

Resumo. *O problema de autenticação por senha tem se tornado cada vez mais desafiador, face ao crescimento significativo de poder computacional na forma de hardware dedicado e placas gráficas. Este trabalho apresenta uma implementação eficiente em software do esquema de hash de senhas Lyra2 em arquiteturas Intel modernas, conforme a versão 2.5 de sua especificação. A implementação resultante emprega instruções vetoriais AVX2 para ganhos de desempenho em torno de 30% sobre a implementação de referência. Na prática, é importante determinar precisamente o desempenho de primitivas dessa natureza para informar a escolha de parâmetros e obter garantias de segurança.*

1. Introdução

A forma mais comum de autenticação de usuários em sistemas computacionais atualmente é o uso de senhas. Nesse paradigma, o usuário é responsável por escolher uma senha ao se registrar, que deve permanecer secreta, e o sistema verifica, a cada acesso, se o usuário conhece a senha correta. Isso implica, é claro, o armazenamento da senha de alguma forma no sistema. Como medida de segurança, recomenda-se não armazenar a senha conforme fornecida pelo usuário, mas sim um valor produzido por um esquema de *hash* de senhas. O *hash* produz uma sequência pseudoaleatória de *bits* tal que, dado o valor de *hash* h de uma senha s , deve ser computacionalmente difícil descobrir qualquer senha (incluindo s) cujo *hash* também seja h – uma propriedade conhecida como resistência ao cálculo de pré-imagem. Assim, em um mecanismo de autenticação moderno, o sistema calcula o *hash* da senha provida pelo usuário e o compara com o *hash* que havia sido armazenado durante o registro. Caso os *hashes* sejam iguais, o acesso é autorizado.

Muitas técnicas foram introduzidas para dificultar ataques de busca exaustiva – aqueles em que um atacante faz tentativas sucessivas de adivinhar uma senha – sem onerar usuários exigindo que criem e memorizem senhas longas e suficientemente entrópicas. No campo dos esquemas de *hash* de senhas, isso significa a inclusão de parâmetros de tempo e espaço de memória mínimos a serem utilizados pela operação de *hash*. O parâmetro de tempo impõe um limite à velocidade com que um atacante pode fazer tentativas

sequenciais, enquanto o de espaço visa a proteger contra ataques que empregam *hardware* dedicado ou GPUs, caracterizados pelo paralelismo e escassez de memória.

Dessa forma, implementações eficientes de novos esquemas de *hash* de senhas, juntamente com suas análises de desempenho, são um tema recorrente tanto no contexto do *Password Hashing Competition*¹ [Pornin 2015] quanto no trabalho de pesquisadores externos [Chang et al. 2015], uma vez que tais resultados fornecem embasamento para a escolha de parâmetros do esquema e para que se estimem suas garantias de segurança quando empregado em ambientes diversos de *hardware* e *software*.

Neste trabalho, foi produzida uma implementação do esquema de *hash* de senhas Lyra2, proposta por pesquisadores brasileiros e finalista do *Password Hashing Competition*, aproveitando conjuntos de instruções presentes em arquiteturas modernas. Acredita-se que o Lyra2 possua as propriedades de segurança exigidas de um esquema moderno de *hash* de senhas, e sua especificação inclui parâmetros de espaço e tempo independentes a serem respeitados por uma implementação correta. A implementação resultante² é compatível com a de referência e competitiva em termos de desempenho. Houve colaboração ainda com o desenvolvimento da especificação do Lyra2 [Simplicio et al. 2015], na medida em que este trabalho trouxe à tona diversas inconsistências no documento de especificação e na implementação de referência.

A implementação proposta possui duas variantes: uma utilizando as instruções vetoriais do conjunto SSE2, e outra utilizando as do conjunto AVX2. Como o código de referência possui versões genérica (sem instruções vetoriais) e SSE2, cabe clarificar que, para o restante deste documento, quaisquer menções à implementação proposta ou à de referência se aplicam às respectivas versões SSE2 (a não ser, é claro, que a versão AVX2 deste trabalho esteja sendo discutida).

2. Notação

Para o restante deste documento, os símbolos da primeira coluna da Tabela 1 a seguir serão usados com o significado dado pela segunda coluna.

Símbolo	Significado
\oplus	XOR bit-a-bit
$\lfloor \cdot \rfloor_l$	Truncagem para l bits
$\gg n$	Rotação n bits à direita
\boxplus	Adição sem carry entre palavras
\parallel	Concatenação
$len(n)$	Tamanho em bytes de n
$LSW(n)$	Palavra menos significativa de n
$rotRt(n)$	Rotação Rt bits à direita de n
$rotRt^m(n)$	Rotação $m \cdot Rt$ bits à direita de n

Tabela 1: Notação utilizada neste trabalho.

3. O esquema de hash Lyra2

O Lyra2 se baseia na construção de esponja, uma forma geral para a geração de funções de *hash* seguras com entradas e saídas de tamanhos arbitrários a partir de uma função de compressão e um esquema de *padding*. De fato, o cálculo do Lyra2 para uma

¹<https://password-hashing.net/>

²Disponível em <https://github.com/guilherme-pg/lyra2>

determinada entrada pode ser descrito em alto nível como a aplicação iterada de operações de esponja, a serem descritas a seguir, a dados mantidos em uma matriz de estado do algoritmo. Consequentemente, conjectura-se que as propriedades de segurança do Lyra2 decorrem tanto da segurança da esponja subjacente, quanto da escolha criteriosa de operações de esponja empregadas, que dificulta a paralelização do algoritmo.

3.1. A construção de esponja

A definição canônica de uma esponja [Bertoni et al. 2011] descreve sua operação em termos de duas etapas – *absorbing* e *squeezing* –, sendo que na primeira a esponja incorpora a entrada a seu estado interno, e na segunda produz uma saída do tamanho desejado baseada nesse estado. Assim, ao final de uma etapa de *squeezing*, a esponja terá produzido um *hash* pseudoaleatório de sua entrada, e pode ser restaurada a seu estado original para uma aplicação posterior.

A Figura 1 ilustra a construção de esponja. Nela, a entrada M é dividida em blocos após o *padding* e absorvida para gerar a saída Z . A função f é uma função de compressão. A linha tracejada separa as etapas de *absorbing* (esquerda) e *squeezing* (direita), e o estado interno da esponja é dividido em duas partes com tamanhos r (taxa) e c (capacidade) *bits*.

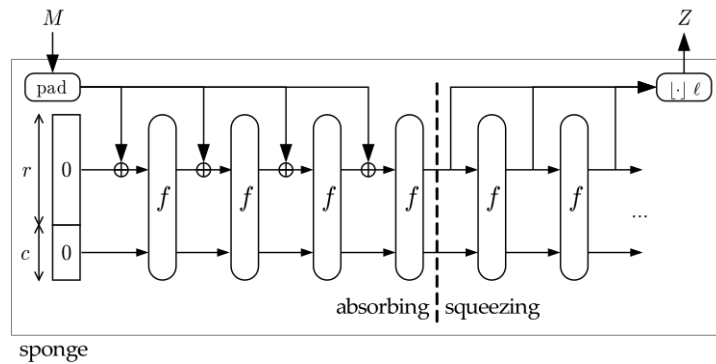


Figura 1. A construção de esponja, adaptado de [Bertoni et al. 2011].

Pode-se definir, ainda, uma construção similar à da esponja, denominada *duplex*, em que se mantém o estado interno entre aplicações. Nela, as operações de *absorb* e *squeeze* são substituídas por uma operação de *duplexing*, na qual um bloco de entrada passa por *padding* individualmente, é absorvido, e um bloco de saída é imediatamente produzido. A Figura 2 ilustra a construção de *duplex*.

Embora semelhantes, esponja e *duplex* são tipicamente tratadas como construções distintas na literatura [Bertoni et al. 2011] e em implementações ³. O Lyra2 utiliza uma versão modificada da construção de *duplex*, em que as operações de esponja também são suportadas. Dessa forma, a esponja do Lyra2 é capaz de realizar *duplexing* de blocos individuais de tamanho r , bem como *absorbing* e *squeezing* de entradas de tamanho arbitrário, e todas essas operações compartilham o mesmo estado interno.

3.2. A função de compressão

Conforme visto anteriormente, a construção de esponja depende de uma função f , denominada função de compressão. Para a esponja usada no Lyra2, a função de com-

³A exemplo da implementação de referência da Keccak (SHA-3), em <https://github.com/gvanas/KeccakCodePackage>

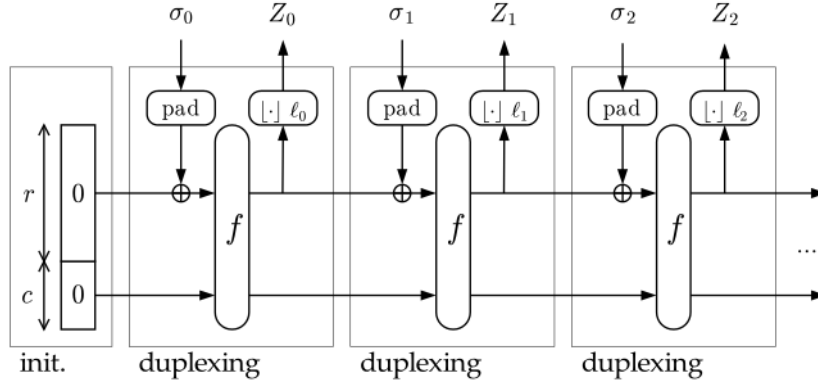


Figura 2. A construção de duplex, adaptado de [Bertoni et al. 2011].

pressão é uma versão levemente adaptada da função G que integra a função de *hash* BLAKE2b [Aumasson et al. 2013]. Especificamente, no Lyra2, são omitidos os parâmetros m (mensagem) e σ (índices para permutação da mensagem), e a função usa como entrada e saída apenas os dados já presentes na matriz de estado. Dessa forma, a função $G(a, b, c, d)$ utilizada é dada por

$$\begin{aligned}
 a &\leftarrow a + b \\
 d &\leftarrow (d \oplus a) \ggg 32 \\
 c &\leftarrow c + d \\
 b &\leftarrow (b \oplus c) \ggg 24 \\
 a &\leftarrow a + b \\
 d &\leftarrow (d \oplus a) \ggg 16 \\
 c &\leftarrow c + d \\
 b &\leftarrow (b \oplus c) \ggg 63
 \end{aligned}$$

No algoritmo BLAKE2b, a função é aplicada repetidamente a uma matriz de estado 4×4 de inteiros de 64 *bits*, primeiro aos elementos de cada coluna, depois aos de cada diagonal. Essas oito aplicações constituem uma *rodada*, e o algoritmo faz transformações do estado em conjuntos de 12 rodadas por vez.

No Lyra2, o estado da esponja contém 128 bytes e é visto como uma matriz de estado linearizada, e as rodadas são definidas de forma análoga. No entanto, a fim de melhorar o desempenho do algoritmo, a maior parte das compressões efetuadas pela esponja não utiliza $\rho_{max} = 12$ rodadas, mas sim $\rho < \rho_{max}$ (na prática, utiliza-se $\rho = 1$). Tais operações com apenas ρ rodadas são denominadas operações *reduzidas* da esponja.

3.3. O algoritmo Lyra2

A Figura 3 contém o pseudocódigo do algoritmo Lyra2 implementado para este trabalho, correspondente à versão 2.5 da especificação. A versão 3.0, a mais recente do algoritmo, funciona de forma bastante similar à descrita nesta Seção, de forma que a implementação proposta pode ser facilmente atualizada.

Conceitualmente, o algoritmo consiste de três etapas: *bootstrapping*, *setup* e *wandering*. Todas elas trabalham sobre uma matriz de estado de $R \times C$ blocos de b *bits*, onde R e C são, portanto, parâmetros de espaço. O tamanho dos blocos é definido de forma que

Algorithm 2 The Lyra2 Algorithm.

PARAM: H ▷ Sponge with block size b (in bits) and underlying permutation f
PARAM: H_ρ ▷ Reduced-round sponge for use in the Setup and Wandering phases (e.g., f with ρ)
PARAM: Rt ▷ Number of bits to be used in rotations (recommended: a multiple of the machine's word size, W)
INPUT: pwd ▷ The password
INPUT: $salt$ ▷ A salt
INPUT: T ▷ Time cost, in number of iterations ($T \geq 1$)
INPUT: R ▷ Number of rows in the memory matrix (recommended: a power of two)
INPUT: C ▷ Number of columns in the memory matrix (recommended: $C \cdot \rho \geq \rho_{max}$)
INPUT: k ▷ The desired key length, in bits
OUTPUT: K ▷ The password-derived k -long key

1: ▷ **BOOTSTRAPPING PHASE:** Initializes the sponge's state and local variables
2: $params \leftarrow len(k) \parallel len(pwd) \parallel len(salt) \parallel T \parallel R \parallel C$ ▷ Byte representation of input parameters (others can be added)
3: $H.absorb(pad(pwd \parallel salt \parallel params))$ ▷ Padding rule: 10^*1 . Password can be overwritten after this point
4: $gap \leftarrow 1$; $stp \leftarrow 1$; $wnd \leftarrow 2$ ▷ Initializes visitation step and window
5: $prev^0 \leftarrow 2$; $row^1 \leftarrow 1$; $prev^1 \leftarrow 0$

6: ▷ **SETUP PHASE:** Initializes a $(R \times C)$ memory matrix, it's cells having b bits each
7: **for** ($col \leftarrow 0$ **to** $C-1$) **do** $\{M[0][C-1-col] \leftarrow H_\rho.squeeze(b)\}$ **end for** ▷ Initializes $M[0]$
8: **for** ($col \leftarrow 0$ **to** $C-1$) **do** $\{M[1][C-1-col] \leftarrow M[0][col] \oplus H_\rho.duplex(M[0][col], b)\}$ **end for** ▷ Initializes $M[1]$
9: **for** ($col \leftarrow 0$ **to** $C-1$) **do** ▷ Initializes $M[2]$ and updates $M[0]$
10: $rand \leftarrow H_\rho.duplex(M[0][col] \boxplus M[1][col])$
11: $M[2][C-1-col] \leftarrow M[1][col] \oplus rand$
12: $M[0][col] \leftarrow M[0][col] \oplus rotRt(rand)$ ▷ $rotRt()$: right rotation by L bits (e.g., 1 or more words)
13: **end for**
14: **for** ($row^0 \leftarrow 3$ **to** $R-1$) **do** ▷ **Filling Loop:** initializes remainder rows
15: **for** ($col \leftarrow 0$ **to** $C-1$) **do** ▷ **Columns Loop:** $M[row^0]$ is initialized, while $M[row^1]$ is updated
16: $rand \leftarrow H_\rho.duplex(M[row^1][col] \boxplus M[prev^0][col] \boxplus M[prev^1][col], b)$
17: $M[row^0][C-1-col] \leftarrow M[prev^0][col] \oplus rand$
18: $M[row^1][col] \leftarrow M[row^1][col] \oplus rotRt(rand)$
19: **end for**
20: $prev^0 \leftarrow row^0$; $prev^1 \leftarrow row^1$; $row^1 \leftarrow (row^1 + stp) \bmod wnd$ ▷ Picks rows to be revisited in next loop
21: **if** ($row^1 = 0$) **then** ▷ Window fully revisited
22: $stp \leftarrow wnd + gap$; $wnd \leftarrow 2 \cdot wnd$; $gap \leftarrow -gap$ ▷ Doubles window size and roughly doubles step
23: **end if**
24: **end for**

25: ▷ **WANDERING PHASE:** Iteratively overwrites pseudorandom cells of the memory matrix
26: **for** ($\tau \leftarrow 1$ **to** T) **do** ▷ **Time Loop**
27: **for** ($i \leftarrow 0$ **to** $R-1$) **do** ▷ **Visitation Loop:** $2R$ rows revisited in pseudorandom fashion
28: **for** ($d \leftarrow 0$ **to** 1) **do** $\{row^d \leftarrow (LSW(rotRt^d(rand))) \bmod R\}$ **end for** ▷ Picks pseudorandom rows
29: **for** ($col \leftarrow 0$ **to** $C-1$) **do** ▷ **Columns Loop:** updates each $M[row^d]$
30: **for** ($d \leftarrow 2$ **to** 3) **do** $\{col^d \leftarrow (LSW(rotRt^d(rand))) \bmod C\}$ **end for** ▷ Picks pseudorandom columns
31: $rand \leftarrow H_\rho.duplex(M[row^0][col] \boxplus M[row^1][col] \boxplus M[prev^0][col^0] \boxplus M[prev^1][col^1], b)$
32: **for** ($d \leftarrow 0$ **to** 1) **do**
33: $M[row^d][col] \leftarrow M[row^d][col] \oplus rotRt^d(rand)$ ▷ Updates the d pseudorandom rows
34: **end for**
35: **end for** ▷ End of Columns Loop
36: **for** ($d \leftarrow 0$ **to** 1) **do** $\{prev^d \leftarrow row^d\}$ **end for** ▷ Next iteration revisits most recently updated rows
37: **end for** ▷ End of Visitation Loop
38: **end for** ▷ End of the Time Loop

39: ▷ **WRAP-UP PHASE:** key computation
40: $H.absorb(M[row^0][col^0])$ ▷ Absorbs a final column with the full-round sponge
41: $K \leftarrow H.squeeze(k)$ ▷ Squeezes k bits with the full-round sponge
42: **return** K ▷ Provides k -long bitstring as output

Figura 3. O algoritmo Lyra2 implementado neste trabalho, conforme versão 2.5 da especificação [Simplicio et al. 2015].

possam ser absorvidos sem *padding* pela esponja utilizada. Embora um bloco de $b = r$ *bits* pareça natural tendo em vista as Figuras 1 e 2, a especificação sugere aumentar r após a primeira absorção (linha 3 da Figura 3). Na prática, tanto no código desenvolvido quanto no de referência utilizam um r inicial de 512 *bits*, e utilizam posteriormente um novo $r = b = 768$ *bits*.

A fase de *bootstrapping* inicializa a esponja com o vetor de inicialização da função de compressão, e então absorve os parâmetros de entrada. A fase de *setup* inicializa a matriz de estado, e a fase de *wandering* aplica operações reduzidas de esponja a células pseudoaleatórias dessa matriz. Nessa fase, o parâmetro T controla o número de iterações a serem feitas, e, portanto, o tempo utilizado. O tempo total de execução do algoritmo é dado por $(T + 1) \cdot R \cdot C \cdot \frac{\rho}{\rho_{max}}$ vezes o tempo de execução da função de compressão da esponja, de forma que, ainda que o tempo de execução seja limitado inferiormente pelos parâmetros de memória R e C , ainda é possível aumentá-lo mantendo o consumo de memória constante, através do parâmetro T .

4. Descrição da implementação

A implementação proposta foi desenvolvida, tal como a de referência, utilizando a linguagem C, mas com base em decisões de projeto levemente diferentes. Além de prezar pelo desempenho, o trabalho foi desenvolvido com particular cuidado pela legibilidade, facilitando eventuais auditorias do código, e portabilidade, evitando-se utilizar extensões específicas de determinados compiladores e aderindo-se de forma bastante estrita ao padrão C99. Uma diferença particularmente perceptível entre as implementações é que, enquanto a de referência utiliza largamente *intrinsics* para obter controle fino sobre as instruções geradas, a implementação mantém os operadores de alto nível da linguagem C e delega ao compilador a tarefa de emitir as instruções vetoriais para a maior parte do código, à exceção da função de compressão. Além do benefício em legibilidade, essa decisão tornou prático emitir versões utilizando diferentes conjuntos de instruções usando o mesmo código, e, conforme a Seção 6, não trouxe perda de desempenho significativa.

O código utilizado para a função de compressão é o da implementação de referência da BLAKE2b ⁴, com pequenas adaptações para remover as constantes utilizadas durante aplicações da função G . No entanto, como essa implementação da BLAKE2b não possui versão AVX2, foi necessário adaptá-la conforme descrito na Subseção 4.1 para que utilizasse esse conjunto de instruções.

O algoritmo Lyra2 apresentado na Subseção 3.3 não especifica o parâmetro Rt , que determina o tamanho em *bits* das rotações de blocos; a implementação de referência, em sua versão SSE2, utiliza $Rt = 128$ *bits*, dado que este é o tamanho de um vetor SSE2. Da mesma forma, o trabalho usa $Rt = 128$ quando compilado com SSE2, e $Rt = 256$ em sua versão AVX2.

4.1. A função de compressão em AVX2

Esta Seção detalha as mudanças feitas na implementação de referência da função de compressão do Lyra2 para aproveitar as instruções vetoriais do conjunto AVX2.

Conforme exposto na Subseção 3.2, a função de compressão f do Lyra2 executa ρ rodadas da função G sobre uma matriz de estado 4×4 de 64 *bits*. Assim, para uma

⁴Disponível em <https://github.com/BLAKE2/BLAKE2>

matriz da forma

$$\begin{pmatrix} v_0 & v_1 & v_2 & v_3 \\ v_4 & v_5 & v_6 & v_7 \\ v_8 & v_9 & v_{10} & v_{11} \\ v_{12} & v_{13} & v_{14} & v_{15} \end{pmatrix},$$

uma rodada corresponde a:

$$\begin{matrix} G(v_0, v_4, v_8, v_{12}) & G(v_1, v_5, v_9, v_{13}) & G(v_2, v_6, v_{10}, v_{14}) & G(v_3, v_7, v_{11}, v_{15}) \\ G(v_0, v_5, v_{10}, v_{15}) & G(v_1, v_6, v_{11}, v_{12}) & G(v_2, v_7, v_8, v_{13}) & G(v_3, v_4, v_9, v_{14}) \end{matrix}$$

onde as aplicações em cada linha podem ocorrer em paralelo. No Lyra2, o estado da esponja possui $16 \times 64 = 1024$ *bits* e serve como uma matriz de estado linearizada em ordem de linhas para a função de compressão.

Na implementação vetorizada de referência da BLAKE2b, cada registrador vetorial contém mais de um inteiro da matriz de estado – por exemplo, com SSE2, v_0 e v_1 compartilham um vetor de 128 *bits*. Uma rodada consiste em executar G sobre as linhas da matriz em paralelo, então *diagonalizá-la*, rotacionando a i -ésima linha i posições à esquerda, transformando as diagonais em colunas, aplicar a função G sobre as (novas) colunas, e desfazer as rotações [Aumasson et al. 2013].

Essas mesmas técnicas podem ser usadas em uma versão AVX2 de f , em que cada registrador de 256 *bits* comporta uma linha inteira da matriz. O código AVX2 produzido para este trabalho utiliza as novas instruções `vpaddq` para as adições de 64 *bits*, `vpxor` para as operações de XOR, `vpshufd` e `vpsrldq` para as rotações, e `vpermq` para as rotações de linhas da matriz. No código, a implementação AVX2 possui a mesma estrutura geral que a de referência, apesar dos *intrinsics* diferentes. A função G é dividida em duas partes: $G1$ contém as instruções até a operação $\ggg 24$, e $G2$ contém o restante da função, conforme a listagem a seguir:

```
#define G1(r1,r2,r3,r4) \
    row1 = _mm256_add_epi64(r2, r2); \
    row4 = _mm256_xor_si256(r4, r1); \
    row4 = _mm256_roti_epi64(r4, -32); \
    row3 = _mm256_add_epi64(r3, r4); \
    row2 = _mm256_xor_si256(r2, r3); \
    row2 = _mm256_roti_epi64(r2, -24); \
#define G2(r1,r2,r3,r4) \
    row1 = _mm256_add_epi64(r1, r2); \
    row4 = _mm256_xor_si256(r4, r1); \
    row4 = _mm256_roti_epi64(r4, -16); \
    row3 = _mm256_add_epi64(r3, r4); \
    row2 = _mm256_xor_si256(r2, r3); \
    row2 = _mm256_roti_epi64(r2, -63); \
```

Na listagem, `_mm256_roti_epi64`, responsável pelas rotações, é a única primitiva que não é um *intrinsic*. Essa macro é definida como:

```
#define r16_256 _mm256_setr_epi8( \
    2, 3, 4, 5, 6, 7, 0, 1, 10, 11, 12, 13, 14, 15, 8, 9, 18, \
    19, 20, 21, 22, 23, 16, 17, 26, 27, 28, 29, 30, 31, 24, 25) \
#define r24_256 _mm256_setr_epi8( \
    3, 4, 5, 6, 7, 0, 1, 2, 11, 12, 13, 14, 15, 8, 9, 10, 19, \
    20, 21, 22, 23, 16, 17, 18, 27, 28, 29, 30, 31, 24, 25, 26) \
#define _mm256_roti_epi64(x, c) \
    ((c) == 32) ? _mm256_shuffle_epi32((x), _MM_SHUFFLE(2, 3, 0, 1)) \
    : ((c) == 24) ? _mm256_shuffle_epi8((x), r24_256) \
    : ((c) == 16) ? _mm256_shuffle_epi8((x), r16_256) \
    : ((c) == 63) ? _mm256_xor_si256(_mm256_srli_epi64((x), -(c)), \
    _mm256_add_epi64((x), (x))) \
    : _mm256_xor_si256(_mm256_srli_epi64((x), -(c)), \
    _mm256_slli_epi64((x), 64-(c)))}
```

A diagonalização e sua inversa são implementadas a partir do *intrinsic* de permutação de palavras `_mm256_permute4x64_epi64`, definido como abaixo:

```
#define DIAGONALIZE(row1, row2, row3, row4) \
    row2 = _mm256_permute4x64_epi64(row2, _MM_SHUFFLE(0, 3, 2, 1)); \
    row3 = _mm256_permute4x64_epi64(row3, _MM_SHUFFLE(1, 0, 3, 2)); \
    row4 = _mm256_permute4x64_epi64(row4, _MM_SHUFFLE(2, 1, 0, 3)); \

#define UNDIAGONALIZE(row1, row2, row3, row4) \
    row2 = _mm256_permute4x64_epi64(row2, _MM_SHUFFLE(2, 1, 0, 3)); \
    row3 = _mm256_permute4x64_epi64(row3, _MM_SHUFFLE(1, 0, 3, 2)); \
    row4 = _mm256_permute4x64_epi64(row4, _MM_SHUFFLE(0, 3, 2, 1)); \
```

E, assim, uma rodada é definida como:

```
#define BLAKE2B_ROUND(v) \
    G1(v[0], v[1], v[2], v[3]); \
    G2(v[0], v[1], v[2], v[3]); \
    DIAGONALIZE(v[0], v[1], v[2], v[3]); \
    G1(v[0], v[1], v[2], v[3]); \
    G2(v[0], v[1], v[2], v[3]); \
    UNDIAGONALIZE(v[0], v[1], v[2], v[3]); \
```

onde o parâmetro v é uma matriz de estado linearizada, de forma que $v[i]$ é um `__m256i` contendo a i -ésima linha.

Além das adaptações em f , as únicas mudanças não-triviais feitas no restante do código para habilitar o uso do conjunto de instruções AVX2 correspondem aos requerimentos de alinhamento de memória nos operandos das novas instruções.

5. Contribuições para a implementação de referência

A adoção de um tamanho R_t para as rotações de bits independente de W no Algoritmo 3 decorre deste trabalho, após observar-se que o código compilado de referência implementava o operando \boxplus como adição palavra a palavra de 64 *bits*, embora a intenção inicial dos autores da especificação fosse efetuar adições módulo 2^W , com $W = 128$ *bits* em SSE2. A distinção entre R_t e W permite implementar adições e rotações de forma eficiente e bem definida na presença de instruções vetoriais.

Este trabalho revelou ainda outros problemas menores na especificação, como o uso de um índice incorretos no acesso a células da matriz de estado no algoritmo. Foram encontrados ainda diversos *bugs* na implementação de referência, como uma implementação incorreta do operador $LSW(n)$ e a inicialização de colunas em ordem incorreta no *Filling loop* do Algoritmo 3.

6. Resultados experimentais

Esta Seção apresenta uma comparação de desempenho entre diferentes implementações do Lyra2. Os testes foram conduzidos em dois ambientes: um Macbook Pro Retina Mid-2012, sistema operacional OSX 10.10.4, com um processador Intel Core i7-3720QM (Ivy Bridge) e 16 GiB de memória, e uma máquina com processador Intel Core i7-4770 (Haswell) e 8GiB de memória e distribuição Linux Fedora 18. O recurso TurboBoost, que aumenta dinamicamente a frequência do processador, foi desativado em ambas.

Cada implementação foi executada 1000 vezes em prioridade normal com as mesmas entradas e uma saída 64 bytes, para três conjuntos de parâmetros R e T do Lyra2,

mantendo-se $C = 256$, valor sugerido pela implementação de referência. A mediana dos tempos dessas execuções foi tomada como métrica final de desempenho para cada conjunto de parâmetros.

Para cada código, testaram-se os binários gerados pelos compiladores LLVM 3.4.2 e GCC 4.9.0, avaliando-se assim a escolha desta implementação de delegar a maior parte das escolhas de instruções para o compilador, conforme a Seção 4. No entanto, devido ao limitado suporte ao GCC em OSX, apenas medições com LLVM foram feitas nessa plataforma. Na implementação de referência, as opções de compilação `-flto`, `-mprefer-avx128` e `-ftree-vectorizer-verbose` foram desativadas sob LLVM: a primeira causou erros de ligação em Linux, e as demais não são suportadas.

A Figura 4 ilustra os resultados experimentais obtidos no ambiente Linux. Nela, os nomes *ref-gcc* e *ref-clang* correspondem à implementação de referência compilada, respectivamente, com GCC e LLVM. Os nomes *gcc* e *clang* são análogos, mas referem-se à implementação deste trabalho. Finalmente, *avx2-clang* e *avx2-gcc* correspondem à variante com instruções AVX2, descrita na Subseção 4.1. Os tempos de execução foram normalizados pelo da medição *ref-gcc* em cada teste.

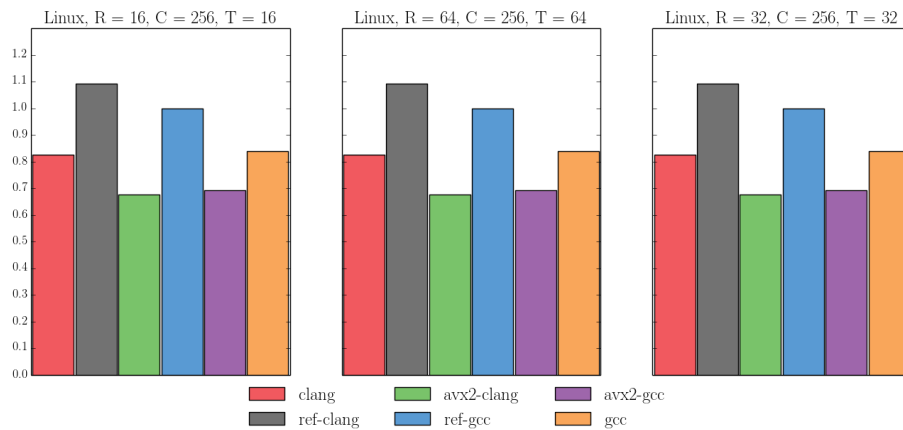


Figura 4. Tempos de execução normalizados para as três configurações de parâmetros em Linux.

As versões AVX2, conforme esperado, foram superiores às demais. Nelas, o compilador utilizado não trouxe diferença significativa (*avx2-clang* foi apenas cerca de 3% mais rápida do que *avx2-gcc* em todos os testes), e ambas foram cerca de 30% mais rápidas do que *ref-gcc* em todos os testes. Os desvios padrão ficaram abaixo de 0.5% da mediana em todas as medições. Entre as versões SSE2, *clang* foi consistentemente a mais rápida, com desempenho cerca de 17% superior a *ref-gcc*. Observou-se a maior diferença com $R = T = 16$, em que *clang* foi 17.76% mais rápida do que *ref-gcc* ($1445\mu s$ contra $1757\mu s$). Novamente, os desvios padrão foram inferiores a 0.5% das medianas.

Em todos os testes, *ref-clang* foi cerca de 9% mais lenta do que *ref-gcc*, enquanto que, na implementação deste trabalho, a influência foi contrária e de menor magnitude: *gcc* foi apenas 1.5% mais lenta do que *clang*. Como esta implementação foi desenvolvida no ambiente com OSX e LLVM, e a de referência em ambiente Linux com GCC, essas discrepâncias refletem a maior exposição de cada implementação à plataforma em que foi escrita.

A Figura 5 mostra os resultados dos mesmos testes executados na máquina rodando OSX. Esse *hardware* não oferece instruções AVX2, de forma que não foi possível avaliar *avx2-clang*. O binário *clang* foi cerca de 25% mais rápido do que *ref-clang* em todos os testes.

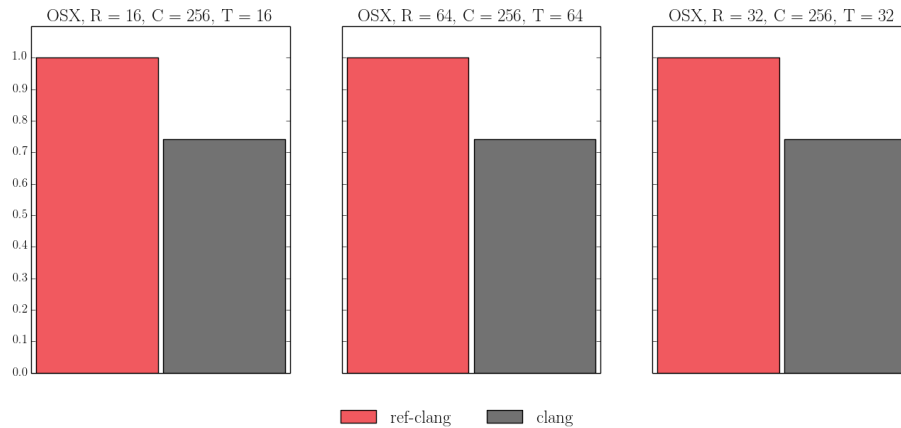


Figura 5. Tempos de execução normalizados para as três configurações de parâmetros em OSX.

Cabe notar que, neste ambiente, os desvios padrão foram maiores do que em Linux para ambas as implementações. No teste de maior diferença relativa, $R = T = 16$, *clang* foi 26.76% mais rápida ($1888\mu s$ contra $2578\mu s$), com desvios padrão de $21.90\mu s$ e $35.34\mu s$, respectivamente. Para $R = T = 64$, *clang* teve alto desvio padrão ($177.39\mu s$, contra $121.31\mu s$ de *ref-clang*), mas desempenho ainda 25.31% melhor.

7. Conclusão

Este trabalho propõe uma implementação de um novo esquema de *hash* de senhas que supera a de referência em desempenho empregando instruções AVX2, além de ter contribuído com a especificação. O estudo da eficiência de primitivas desse tipo é importante pois orienta escolhas de parâmetros e estimativas de níveis de segurança.

Referências

- Aumasson, J., Neves, S., Wilcox-O’Hearn, Z., and Winnerlein, C. (2013). BLAKE2: simpler, smaller, fast as MD5. In Jr., M. J. J., Locasto, M. E., Mohassel, P., and Safavi-Naini, R., editors, *Proceedings of the 11th International Conference on Applied Cryptography and Network Security (ACNS)*, volume 7954 of *Lecture Notes in Computer Science*, pages 119–135. Springer.
- Bertoni, G., Daemen, J., Peeters, M., and Assche, G. (2011). Cryptographic sponge functions. <http://sponge.noekeon.org/>.
- Chang, D., Jati, A., Mishra, S., and Sanadhya, S. K. (2015). Performance analysis of some password hashing schemes.
- Pornin, T. (2015). Optimizing MAKWA on GPU and CPU. Cryptology ePrint Archive, Report 2015/678. <http://eprint.iacr.org/>.
- Simplício, M. A., Almeida, L. C., Andrade, E. R., dos Santos, P. C. F., and Barreto, P. S. L. M. (2015). Lyra2: Password hashing scheme with improved security against time-memory trade-offs. <http://www.lyra-kdf.net>.